

УДК 548.736.3

## МЕТОД ПОСТРОЕНИЯ МОДЕЛЬНЫХ КРИВЫХ РАДИАЛЬНОГО РАСПРЕДЕЛЕНИЯ ЭЛЕКТРОННОЙ ПЛОТНОСТИ

© 2007 Э.М. Мороз\*, Д.А. Зюзин, К.И. Шефер

Институт катализа им. Г.К. Борескова, Новосибирск

Статья поступила 15 декабря 2006 г.

Описан метод построения модельных кривых радиального распределения электронной плотности. На примерах показаны возможности применения этого метода для уточнения фазового состава и особенностей структуры высокодисперсных материалов.

**Ключевые слова:** метод радиального распределения электронной плотности, высокодисперсные материалы.

### ВВЕДЕНИЕ

Традиционный рентгенографический фазовый анализ основывается на сравнении положения пиков (межплоскостных расстояний) и их интенсивности на экспериментальной дифрактограмме с известными значениями для предполагаемых фаз. Определение фазового состава высокодисперсных материалов имеет свои ограничения, поскольку их дифрактограммы состоят из очень размытых пиков, что вызывает затруднения в определении их положения и интегральной интенсивности. Особенно актуальна задача определения фазового состава для нанообъектов, в частности, катализаторов и их носителей, так как все они имеют высокую дисперсность.

Каждая структура характеризуется определенными значениями межатомных расстояний  $r$  координационных чисел (КЧ) атомов. Известно, что размеры кристаллитов влияют на значения КЧ: для малых размеров областей когерентного рассеяния оно уменьшается. Однако в этом случае хотя бы ближайшие расстояния всегда будут присутствовать. Этот факт можно использовать для определения фазового состава рентгеноаморфных веществ, а также нанообъектов ( $< 30 \text{ \AA}$ ).

Для извлечения значений  $r$  и КЧ из дифракционных данных применим метод радиального распределения электронной плотности (РРЭП) [1, 2]. Координационные пики на кривых РРЭП обычно описывают модифицированными гауссианами [2]. Это дает возможность по значениям  $r$  и КЧ построить общую **модельную** кривую радиального распределения. Из-за особенностей строения исследуемых материалов и неоднозначности информации, получаемой этим методом, данные из кривых РРЭП не всегда полностью совпадают со структурными данными известных фаз. В связи с этим возникает необходимость сравнения кривых РРЭП, полученных из дифракционного эксперимента, с модельными, построенными для предполагаемого фазового состава. Кроме того, модельные кривые можно использовать для определения изменений в локальной структуре высокодисперсного материала.

### МЕТОД РРЭП

В основе метода РРЭП лежит зависимость между радиальным распределением электронной плотности  $\rho(r)$  и экспериментально измеренной интенсивностью когерентного рассеяния рентгеновских лучей  $i(s)$ , исправленной на фон, поляризацию, поглощение, комптоновское рассеяние, выраженной в электронных единицах:

\* E-mail: emoroz@catalysis.nsk.su

$$4\pi r^2 \rho(r) = 4\pi r^2 \rho_0 + 2r/\pi \int_0^\infty s i(s) \sin(sr) ds, \\ \rho(r) = \sum_a \sum_b n_a k_a k_b \rho_{ab}(r), \quad (1)$$

где  $\rho_{ab}(r)$  — распределение атомной плотности;  $n_a$  — число атомов  $a$  в "эффективной" молекуле (молекула, рассчитанная из химического состава) исследуемого объекта;  $k_a, k_b$  — эффективная рассеивающая способность по сравнению с единичным фактором рассеивания или эффективное количество электронов атомов  $a$  и  $b$  соответственно. Определять значение  $k_a$  можно различными способами. В данной работе такое определение производилось по формуле Вайнштейна [ 3 ]:

$$k_a^2 = \frac{\int_{S_{\min}}^{S_{\max}} f_a^2(s) s^2 ds}{\int_{S_{\min}}^{S_{\max}} f_L^2(s) s^2 ds}, \quad (2)$$

где  $f_a$  — атомный фактор рассеяния атома  $a$ ;  $f_L$  — атомный фактор самого легкого атома в изучаемой системе, для которого полагаем  $k_L = 1$ .

Единичный атомный фактор  $f_e$  определяется следующим образом:

$$f_e = \frac{\sum_a n_a f_a(s)}{\sum_a n_a k_a}.$$

$\rho_0 = \frac{\sum_a (n_a k_a)^2 dN_A}{M}$  — средняя электронная плотность в единице объема, где  $d$  — пикнометрическая плотность;  $N_A$  — число Авогадро;  $M$  — молярный вес;  $s = 4\pi \sin(\theta/\lambda)$  — вектор обратного пространства, где  $\theta$  — угол Вульфа—Брэгга;  $\lambda$  — длина волны излучения;

$$i(s) = \frac{\frac{J(s)}{N} - \sum_a n_a f_a^2(s)}{f_e^2(s)}, N$$
 — число атомов скопления;  $J(s) = \frac{J_0(s) - J_{\text{фон}}(s)}{PA}$ ,  $J_0(s)$  — измеренная интенсивность когерентного рентгеновского рассеяния,  $J_{\text{фон}}(s)$  — интенсивность фона, полученная в тех же условиях;  $P$  и  $A$  — факторы поляризации и поглощения соответственно.

Необходимыми данными для расчета кривых РРЭП являются некоторые экспериментальные и справочные характеристики изучаемого вещества. Экспериментальные данные: массив интенсивностей рассеяния рентгеновских лучей для образца, массив интенсивностей для фона, толщина образца и плотность прессовки (эти величины важны для систем из легких атомов), химический состав образца ( $n_A \dots n_M$ ) в пересчете на "эффективную" молекулу, пикнометрическая плотность. Справочные данные: количество электронов в атомах, коэффициенты поглощения атомов для данного рентгеновского излучения, длина волны излучения, атомные факторы атомов или ионов. Кривая РРЭП обычно строится в сферических координатах  $4\pi r^2 \rho(r) = f(r)$ , где расстояние  $r$  выражено в Å, а электронная плотность  $\rho(r)$  в эл.<sup>2</sup>/Å.

Количественными параметрами структуры, получаемыми из кривых РРЭП, являются равновесные межатомные расстояния (те значения  $r$ , при которых находятся пики электронной плотности), КЧ (определяется по площадям координационныхиков), средние квадратичные смещения атомов (определяются по ширине координационныхиков), а также расстояние, на котором исчезает корреляция в расположении атомов (расстояние  $r$ , начиная с которого  $\rho(r) = \rho_0$ ). Последнее обстоятельство может быть использовано для оценки размеров области когерентного рассеяния [ 4 ].

Все рентгеновские дифракционные картины для построения экспериментальных кривых РРЭП были получены в молибденовом излучении ( $\lambda = 0,71$  Å) на дифрактометре высокого разрешения на станции синхротронного излучения в Сибирском центре СТИ (ИЯФ СО РАН) с использованием на дифракционном пучке кристалла-монохроматора Si (1.1.1). Сканирование

проводили в широком интервале углов: от 5 до 135° по 2θ, по точкам с шагом 0,1° и с накоплением большого количества импульсов — около 15 000 импульсов в точке максимума.

В Институте катализа СО РАН создано оригинальное программное обеспечение для расчета, обработки и моделирования кривых РРЭП. Построение и интерпретация кривых осуществляются посредством выбора режима в диалоговом меню. Меню составлено так, чтобы отразить основные этапы расчета: 1) чтение и редактирование исходного файла (есть возможность использования данных с различных дифрактометров); 2) первичная обработка — измерение положения, интенсивности, интегральной полуширины дифракционных пиков; 3) корректировка кривых интенсивности — введение различных поправок; 4) фильтрация данных (использование фурье-разложения); 5) нормировка кривых интенсивности — приведение к электронным единицам.

Особенностями расчета кривых РРЭП, применяемого в наших работах, являются проведение двойной нормировки (по дальней области углов и площади) и использование экспериментальных факторов рассеяния, получаемых при сглаживании экспериментальной дифракционной картины [1, 5].

Сравнение экспериментальных кривых РРЭП с модельными, построенными для предполагаемого фазового состава образца, может уточнить не только фазовый состав (в первую очередь рентгеноаморфных и высокодисперсных материалов), но и особенности структур фаз, присущих в материале.

Из химического состава образца и способа его получения предполагается, какие известные соединения могут входить в него в виде отдельных фаз. Из известных структурных данных — параметров элементарной ячейки, пространственной группы, координат атомов и заселенности позиций — для каждой из таких структур проводится расчет межатомных расстояний и КЧ. Затем, определив по формуле (2) необходимые значения  $k_a$ , производится расчет площади координационных пиков для одноименных атомов:

$$S = n_a k_a^2 Z_{aa}, \quad (3)$$

для разноименных атомов:

$$S = n_a k_a k_b Z_{ab}, \quad (4)$$

где  $Z_{aa}$ ,  $Z_{ab}$  — КЧ для одноименных и разноименных атомов соответственно.

Как указано выше, экспериментальная кривая РРЭП может быть представлена в виде суммы модифицированных гауссианов. То же верно и для модельных кривых. Такой синтез можно представить в виде

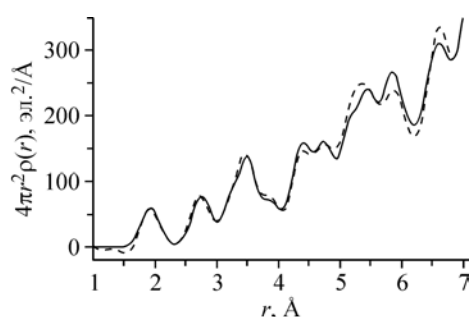
$$4\pi r^2 \rho(r) = \sum_i \frac{S_i}{\sqrt{2\pi b_i^2} \left(1 + b_i^2 / r_i^2\right)} \exp\left[\frac{(r - r_i)^2}{2b_i^2}\right] \left(\frac{r}{r_i}\right)^2, \quad (5)$$

где  $r_i$  — равновесное положение  $i$ -го максимума;  $b_i$  — среднеквадратичное отклонение;  $S_i$  — площадь  $i$ -го координационного максимума.

Модельные кривые рассчитывали в программе Mathcad-12. Для получения модельных кривых использовали структурные данные из картотеки ICSD/Retrieve [6]. Расчет межатомных расстояний и координационных чисел проводили по программе ICSD/Retrieve и программе "ПОЛИКРИСТАЛЛ" [7], разработанной в Институте катализа СО РАН.

Апробация процедуры построения модельных кривых проведена на эталонном образце  $\alpha$ -Al<sub>2</sub>O<sub>3</sub> SRM-676 (порошок), предоставленном Международным центром по дифракционным данным (ICDD) [8]. Модельная [6, № 75559] и рассчитанная из экспериментальной дифракционной картины кривые РРЭП  $\alpha$ -Al<sub>2</sub>O<sub>3</sub> представлены на рис. 1. Они совпадают с  $R$ -фактором 6 % [9].

Рис. 1. Экспериментальная (штриховая) и модельная (сплошная линия) кривые РРЭП  $\alpha$ -Al<sub>2</sub>O<sub>3</sub>



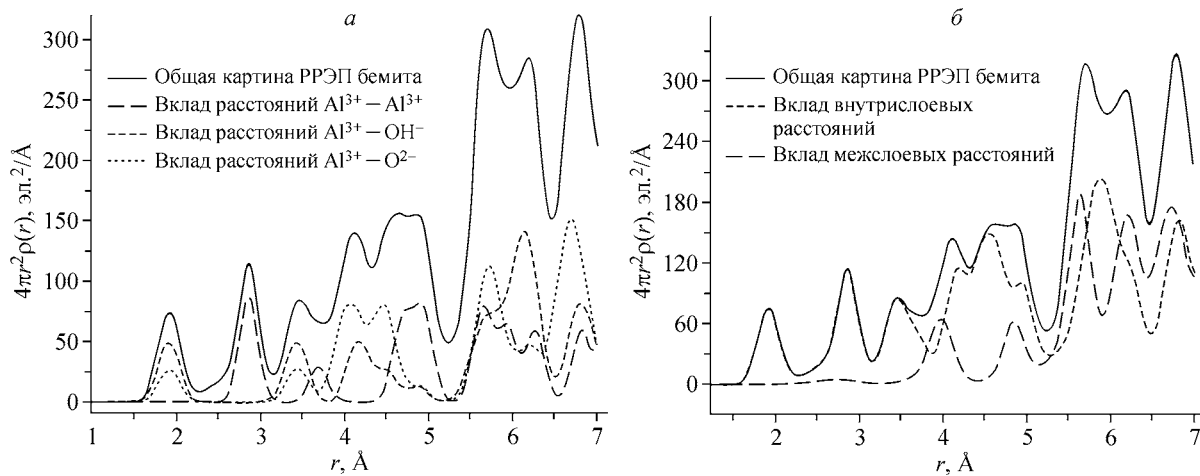


Рис. 2. Модельные кривые РРЭП с составляющими, показывающие вклад отдельных межатомных расстояний (а) и внутрислоевых и межслоевых межатомных расстояний (б)

#### ПРИМЕРЫ ПРИМЕНЕНИЯ МЕТОДА

Из формулы (5) видно, что, помимо общей кривой, возможно построение "парциальных" составляющих кривой РРЭП, отвечающих расстояниям между определенными типами атомов.

В качестве примера на рис. 2, а показана модельная кривая РРЭП для моногидроксида алюминия (окристаллизованного бемита AlOOH [ 6, № 200599 ]) с "парциальными" кривыми, соответствующими расстояниям металл—металл, металл—кислород и металл—ОН-группа. В структуре окристаллизованного бемита атомы алюминия окружены деформированной октаэдрической группировкой из атомов кислорода. Искаженные октаэдры соединяются друг с другом ребрами и вершинами, образуя слои, которые укладываются друг на друга вдоль оси  $b$  и соединяются друг с другом мультиплетными Н-связями.

Для слоистых структур, примером которых является бемит, кроме того, можно общую кривую представить в виде составляющих, показывающих вклад межслоевых и внутрислоевых расстояний (см. рис. 2, б). Эта возможность была использована при рассмотрении моделей структуры другого гидроксида алюминия — псевдобемита ( $\text{AlOOH}\cdot n\text{H}_2\text{O}$ ,  $n = 0,3—2,0$ ). Как видно из химической формулы, псевдобемит отличается от окристаллизованного бемита содержанием воды в структуре. Однако псевдобемит обладает разупорядоченной структурой и высокой дисперсностью (размеры кристаллитов около 30 Å). Этот материал является исходным продуктом для получения одного из важнейших носителей для промышленных катализаторов. Различия в структурах окристаллизованного бемита и псевдобемита показаны в [ 10 ].

Кривые РРЭП для различных полиморфных модификаций должны отличаться друг от друга, так как они имеют различную структуру, поэтому возможно проведение фазового анализа по кривым РРЭП в случаях, если фазы высокодисперсны. На рис. 3 представлены модельные кривые РРЭП трех фаз  $\text{ZrO}_2$ : моноклинной [ 6, № 68782 ], кубической [ 6, № 72955 ] и тетрагональной [ 6, № 68781 ]. Из рисунка видно, что с точки зрения метода РРЭП тетрагональная и кубическая фазы плохо различимы. Отличие кривых РРЭП заключается в расщеплении в тетрагональной фазе первого координационного пика и уширении некоторых координационных пиков, принадлежащих расстояниям цирконий—кислород. Кривая же моноклинной фазы отличается как от кривой РРЭП кубической, так и от тетрагональной фаз. Подробно использование структурных различий высокодисперсных фаз оксидов циркония рассмотрено в [ 9 ].

Метод РРЭП был применен для уточнения фазового состава высокодисперсных оксидов и гидрооксидов алюминия. Одним из звеньев технологической цепочки получения оксидов и гидрооксидов алюминия является импульсное термическое разложение гиббсита —  $\text{Al(OH)}_3$  [ 6, № 6162 ]. Его можно проводить как центробежную термоактивацию (ЦТА) гиббсита [ 11 ]. В результате получается рентгеноаморфный гидроксооксид алюминия. Анализ эксперимен-

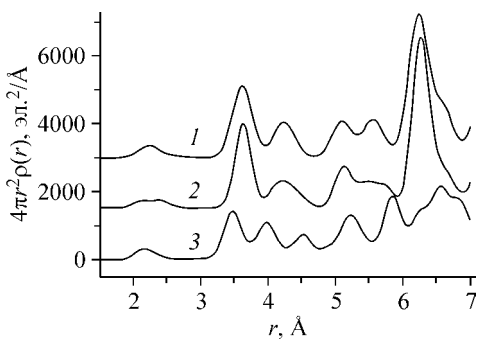


Рис. 3. Модельные кривые РРЭП кубической (1), тетрагональной (2) и моноклинной (3) фаз оксида циркония

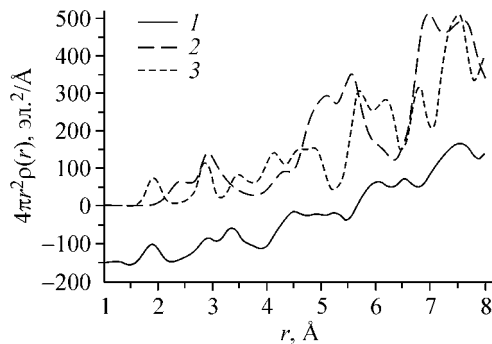


Рис. 4. Экспериментальные кривые РРЭП высокодисперсных продуктов ЦТА гиббита (1) и модельные кривые байерита (2) и бемита (3)

тальных кривых РРЭП продуктов ЦТА (рис. 4) показал, что в продукте, кроме гидроксооксида алюминия, содержится высокодисперсная фаза байерита, которая не проявляется на дифракционной картине в виде отдельных дифракционных пиков. На кривой РРЭП продукта ЦТА (см. рис. 4, кривая 1) присутствует пик ( $r = 5 \text{ \AA}$ ) в месте расположения интенсивного пика на кривой РРЭП байерита (кривая 2). Отметим, что на кривой 3, построенной для структуры бемита, такое расстояние отсутствует. Это заключение о фазовом составе исходного продукта ЦТА гиббита объяснило, почему при его регидратации в мягких условиях образуется фаза байерита — уже в исходном продукте присутствуют зародыши этой фазы [ 12 ].

Возможно также построение модельной кривой РРЭП для смеси невзаимодействующих фаз, а также для твердых растворов. Сравнение экспериментальной кривой РРЭП твердого раствора и построенной модельной кривой может выявить как изменение структуры ближнего порядка, так и присутствующие в материале высокодисперсные или рентеноаморфные фазы, не обнаруживаемые на дифракционной картине [ 13 ].

Таким образом, применение моделирования кривых РРЭП и сравнение полученных экспериментальных кривых с модельными открывают возможности для более детального изучения как фазового состава, так и локальной структуры таких высокодисперсных веществ, какими, в частности, являются катализаторы.

#### СПИСОК ЛИТЕРАТУРЫ

1. Мороз Э.М. // Успехи химии. – 1992. – **61**, № 2. – С. 188 – 203.
2. Скрышевский А.Ф. Структурный анализ жидкостей. – М.: Высшая школа, 1971.
3. Вайнштейн Б.К. // Кристаллография. – 1957. – **2**, В.1. – С. 29 – 37.
4. Колосов П.Е., Мороз Э.М. // Кинет. и катализ. – 1995. – **36**, № 3. – С. 337 – 341.
5. Рихтер К. Рентгенографическое исследование аморфных и мелкокристаллических катализаторов методом радиального распределения атомов: Дис. ... канд. хим. наук. – Ин-т катализа СО РАН. – Новосибирск, 1973.
6. Банк структурных данных ICSD/Retrieve 2.01 by Dr. M. Berndt.
7. Цыбуля С.В., Черепанова С.В., Соловьева Л.П. // Журн. структур. химии. – 1996. – **37**, № 2. – С. 379 – 382.
8. Карточка JCPDS (Joint Committee for Powder Diffraction Studies) – ICDD (International Centre for Diffraction Data), 1997.
9. Зюзин Д.А. Локальная структура гидроксидных и оксидных соединений циркония и церия: Дис. ... канд. хим. наук. / Ин-т катализа СО РАН. – Новосибирск, 2005.
10. Moroz E.M., Shefer K.I., Zyuzin D.A. et al. // React. Kinet. Catal. Lett. – 2006. – **87**, N 2. – P. 367 – 375.
11. Pinakov V.I., Stoyanovsky O.I., Tanashev A.B. et al. // Chem. Eng. J. – 2005. – **107**, N 1—3. – P. 157.
12. Shefer K.I., Moroz E.M., Zyuzin D.A. et al. // Zeitschr. Kristallogr. – In press.
13. Frolova Yu.V., Kochubey D.I., Kriventsov V.V. et al. // Nucl. Inst. Meth. Phys. Res. – 2005. – **A543**. – P. 127 – 130.